

Zeitschrift: Bericht der Eidgenössischen Kommission zur Überwachung der Radioaktivität
Herausgeber: Eidgenössische Kommission zur Überwachung der Radioaktivität
Band: 8 (1964)
Anhang: [Abbildungen = Images]

Nutzungsbedingungen

Die ETH-Bibliothek ist die Anbieterin der digitalisierten Zeitschriften auf E-Periodica. Sie besitzt keine Urheberrechte an den Zeitschriften und ist nicht verantwortlich für deren Inhalte. Die Rechte liegen in der Regel bei den Herausgebern beziehungsweise den externen Rechteinhabern. Das Veröffentlichen von Bildern in Print- und Online-Publikationen sowie auf Social Media-Kanälen oder Webseiten ist nur mit vorheriger Genehmigung der Rechteinhaber erlaubt. [Mehr erfahren](#)

Conditions d'utilisation

L'ETH Library est le fournisseur des revues numérisées. Elle ne détient aucun droit d'auteur sur les revues et n'est pas responsable de leur contenu. En règle générale, les droits sont détenus par les éditeurs ou les détenteurs de droits externes. La reproduction d'images dans des publications imprimées ou en ligne ainsi que sur des canaux de médias sociaux ou des sites web n'est autorisée qu'avec l'accord préalable des détenteurs des droits. [En savoir plus](#)

Terms of use

The ETH Library is the provider of the digitised journals. It does not own any copyrights to the journals and is not responsible for their content. The rights usually lie with the publishers or the external rights holders. Publishing images in print and online publications, as well as on social media channels or websites, is only permitted with the prior consent of the rights holders. [Find out more](#)

Download PDF: 04.03.2026

ETH-Bibliothek Zürich, E-Periodica, <https://www.e-periodica.ch>

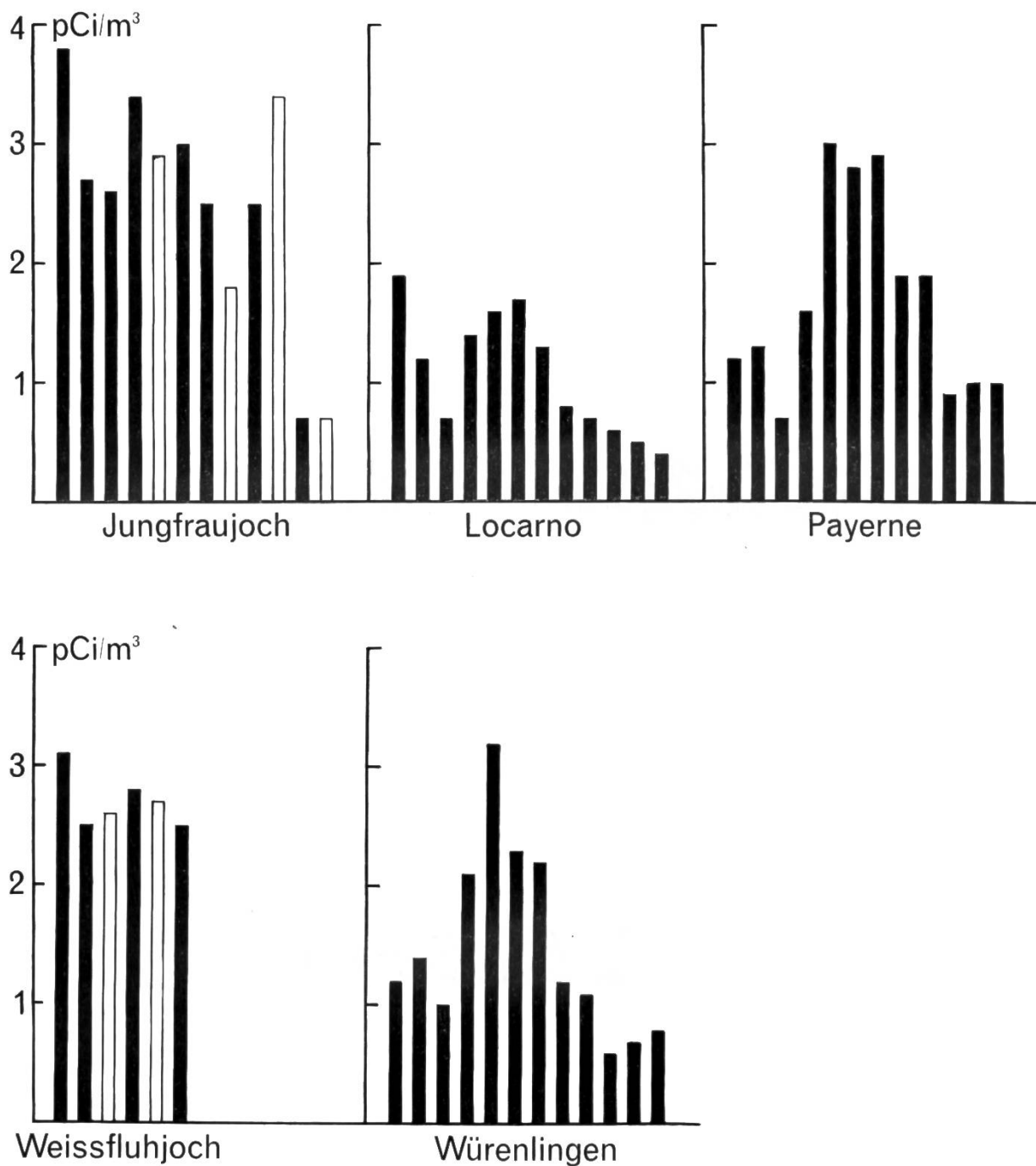


Fig. 1. Monatliche Mittelwerte der spezifischen Gesamt-Betaaktivität der Luft, bezogen auf 760 mm Hg und 0° C, für die Messstellen Jungfrauoch, Locarno, Payerne, Weissfluhjoch und Würenlingen.

Ausgefüllt: ganzer Monat; umrandet: Teil des Monats.

Fig. 1. Moyennes mensuelles de l'activité spécifique bêta totale de l'air, à 760 mm Hg et 0° C, mesurées aux stations du Jungfrauoch, Locarno, Payerne, Weissfluhjoch et Würenlingen.

Noir: mois entier; blanc: mois partiel.

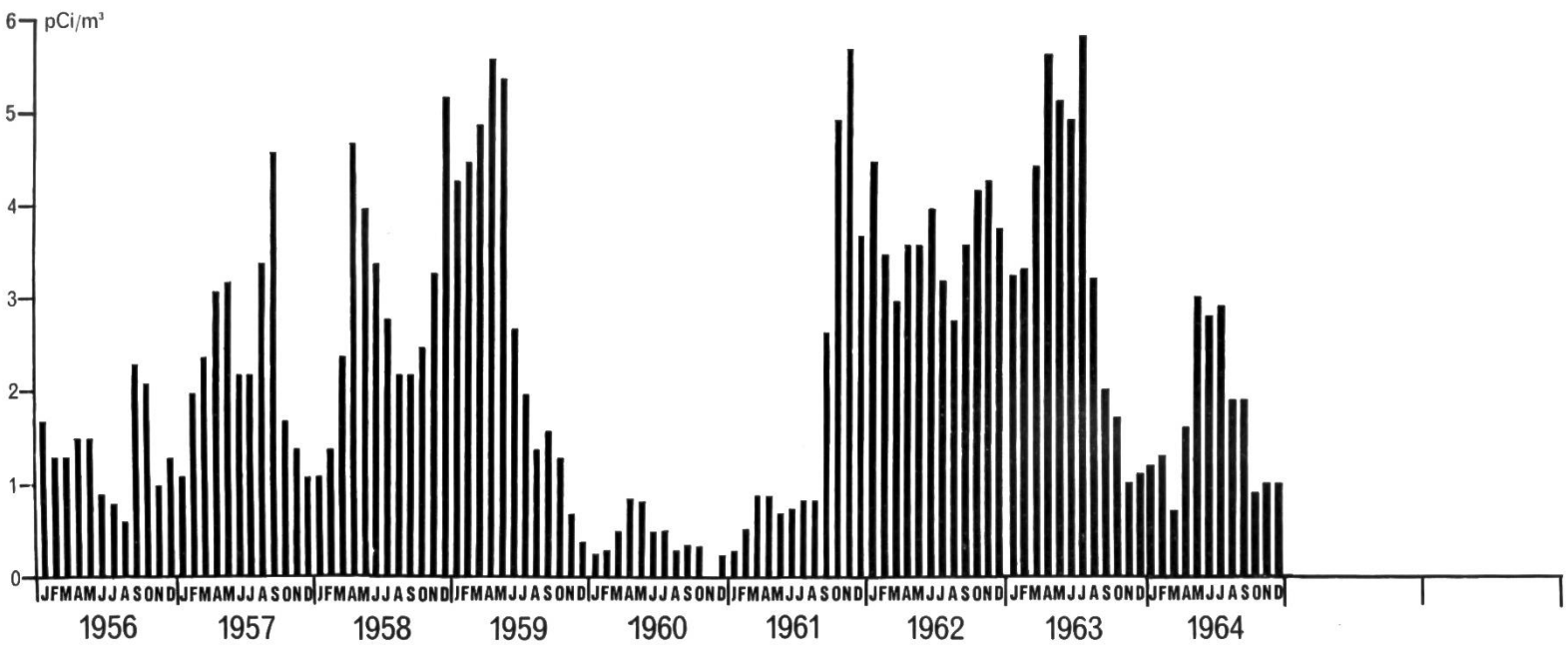


Fig. 2. Monatliche Mittelwerte der spezifischen Gesamt-Betaaktivität der Luft, bezogen auf 760 mm Hg und 0° C, für die Messstelle Payerne von 1956 bis 1964.

Fig. 2. Moyennes mensuelles de l'activité spécifique bêta totale de l'air, à 760 mm Hg et 0° C mesurées à la station de Payerne de 1956 à 1964.

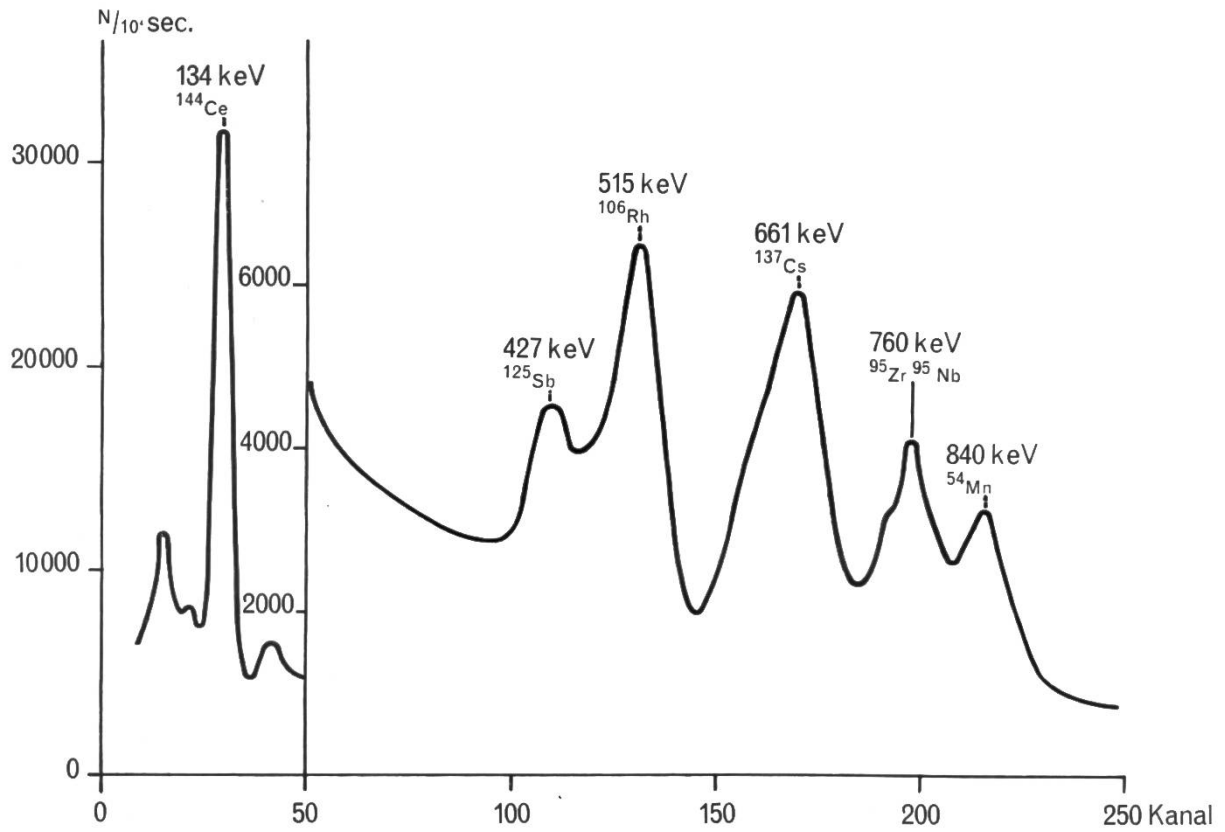


Fig. 3a. Gamma-Spektrum des Luftfilters von Freiburg vom Dezember 1962, gemessen am 20. 5. 1964. Das Spektrum ist typisch für ein Gemisch von alten Fissionsprodukten.

Fig. 3a. Spectre-Gamma du filtre d'air de Fribourg du décembre 1962 mesuré le 20. 5. 64. Le spectre est typique pour un mélange de vieux produits de fission.

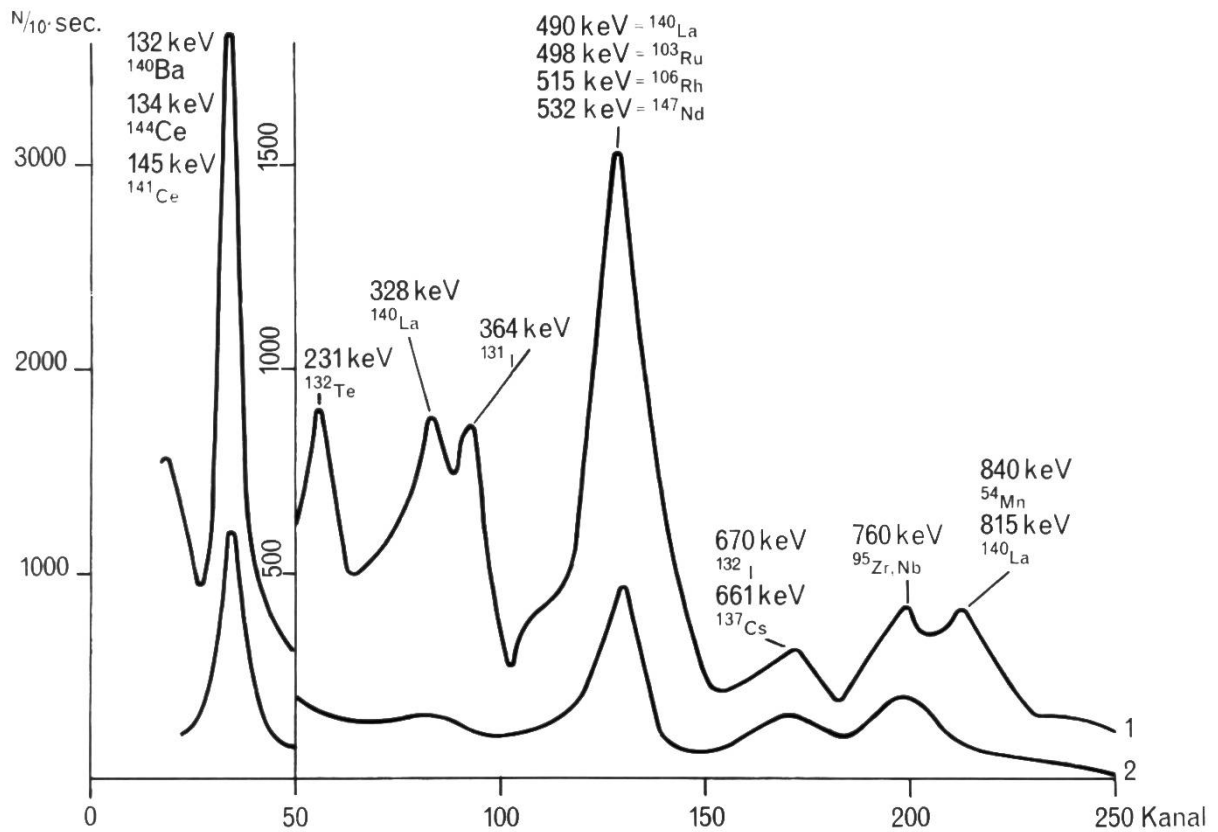


Fig. 3b. Gamma-Spektrum des Luftstreifens vom Jungfrauoch vom 26. 10. 64, gemessen am 6. 11. 1964 (Kurve 1) und am 22. 12. 64 (Kurve 2). Das Auftreten junger, kurzlebiger Fissionsprodukte rührt von der chinesischen Bombe vom 16. 10. 1964 her.

Fig. 3b. Spectre-Gamma de la bande de filtre d'air du Jungfrauoch du 26. 10. 1964, mesurée le 6. 11. 1964 (courbe 1) et le 22. 12. 1964 (courbe 2). L'apparition de nouveaux produits de fission à courte période provient de la bombe chinoise du 16. 10. 1964.

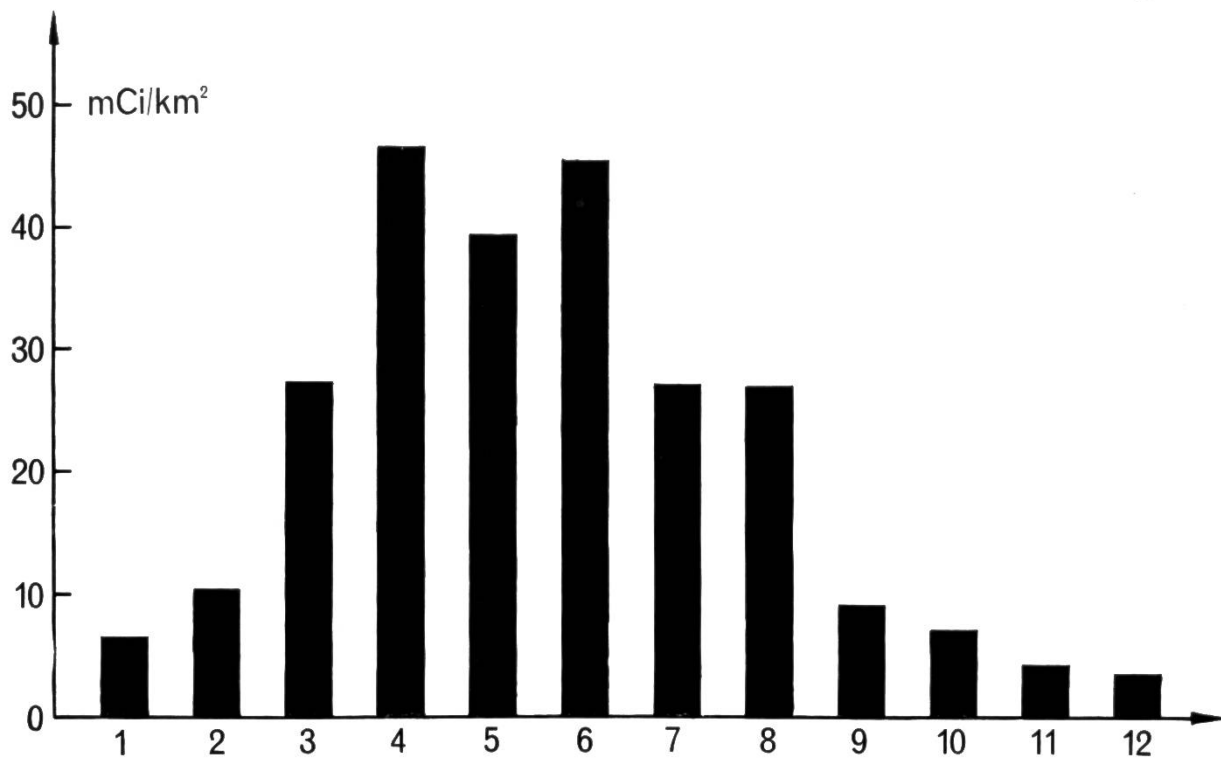
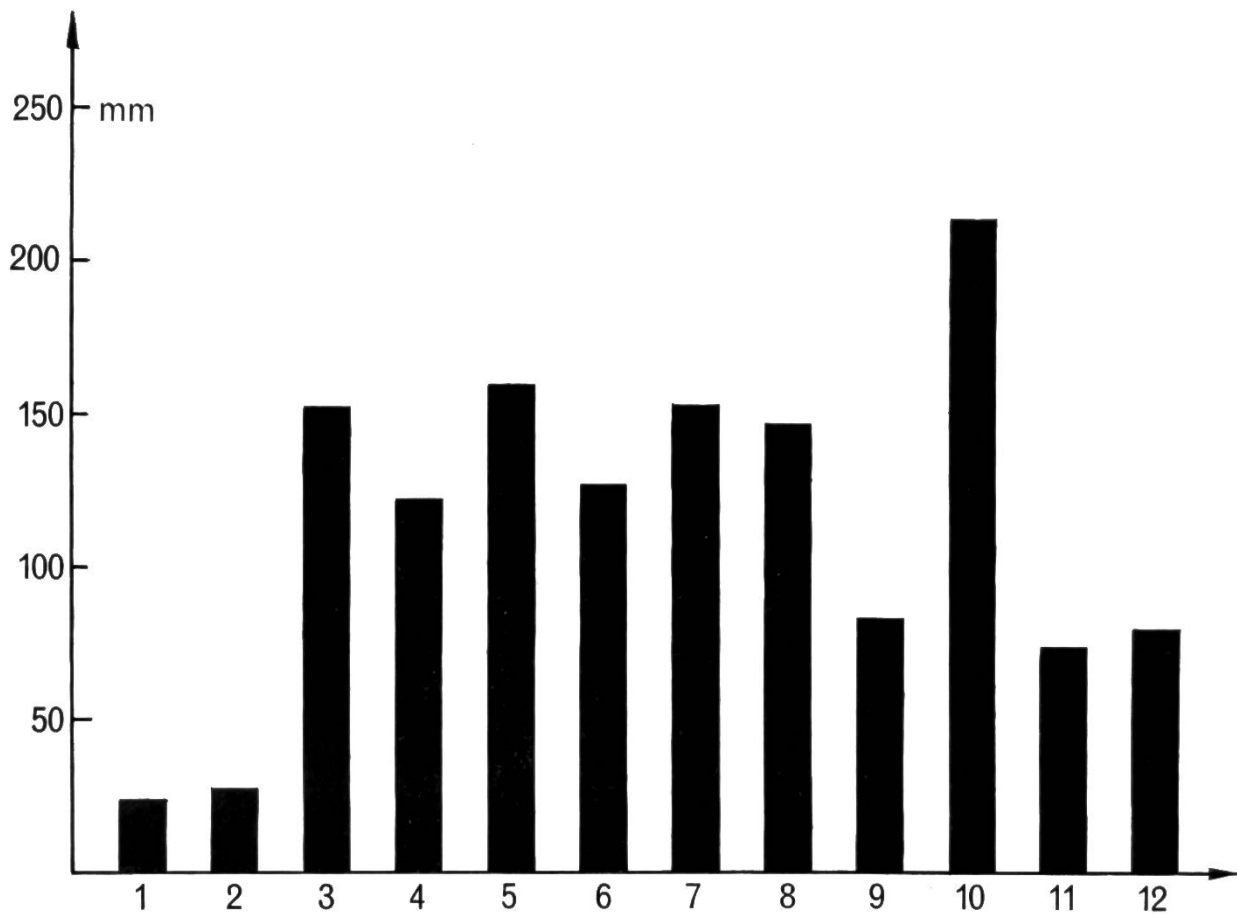


Fig. 4. Monatliche Niederschlagsmenge (oben) und monatliche, dem Erdboden durch Niederschlag zugeführte Gesamt-Betaaktivität pro km² Bodenfläche (unten) für die Messstelle Valsainte.

Fig. 4. Quantité mensuelle des précipitations (en haut) et activité bêta totale accumulée mensuellement par km² au sol par les précipitations (en bas) pour la station de la Valsainte.

Gamma-Spektrum einer Grasprobe, gesammelt westlich von Würenlingen.

Sammeldatum: 21.5.64
Menge: 368 g
Messdatum: 22.6.64
Messdauer: 10000 s

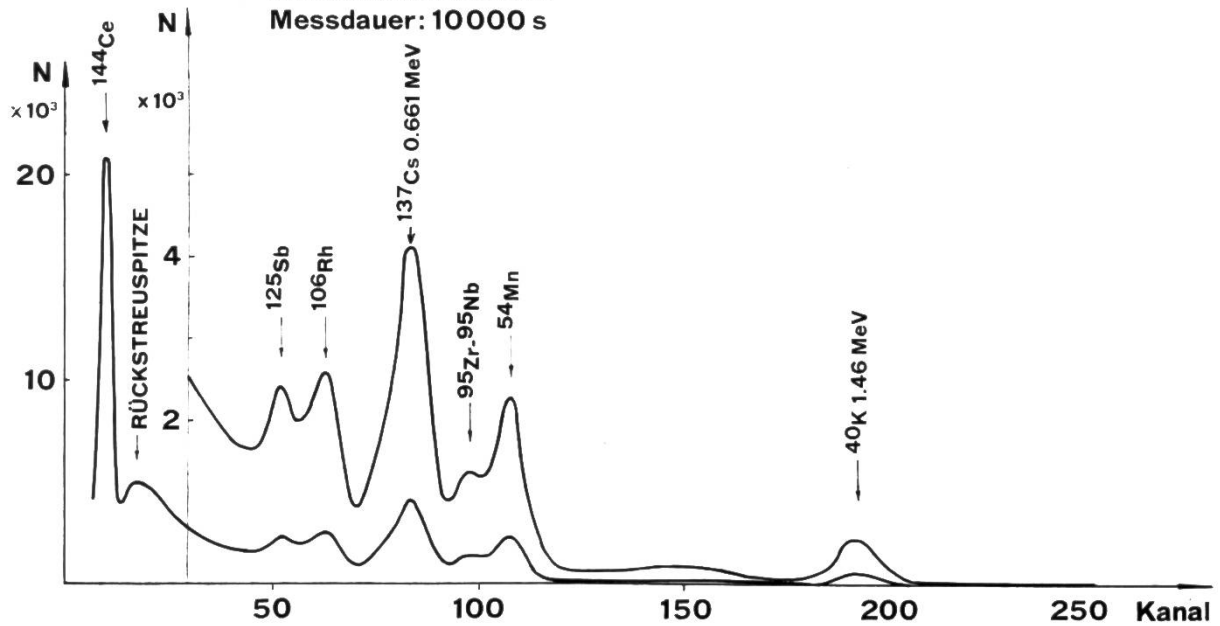


Fig. 5a

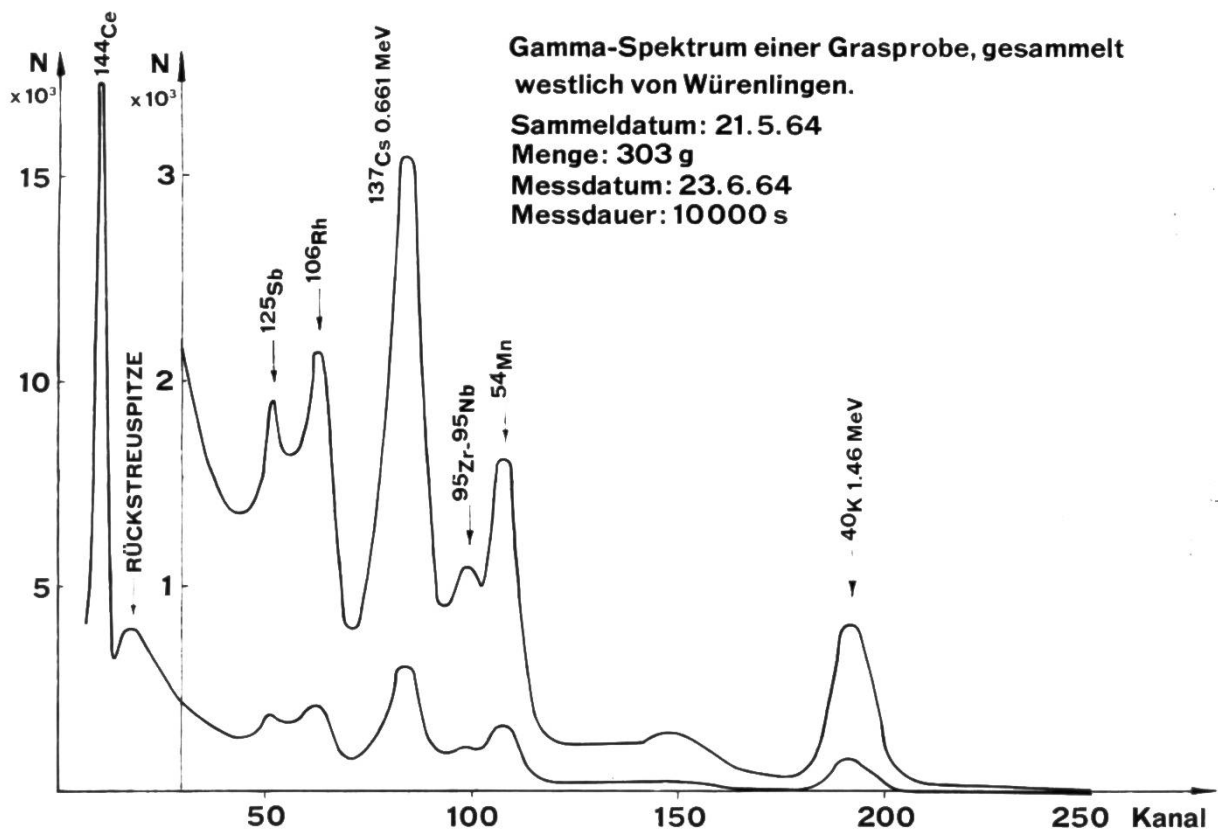


Fig. 5b

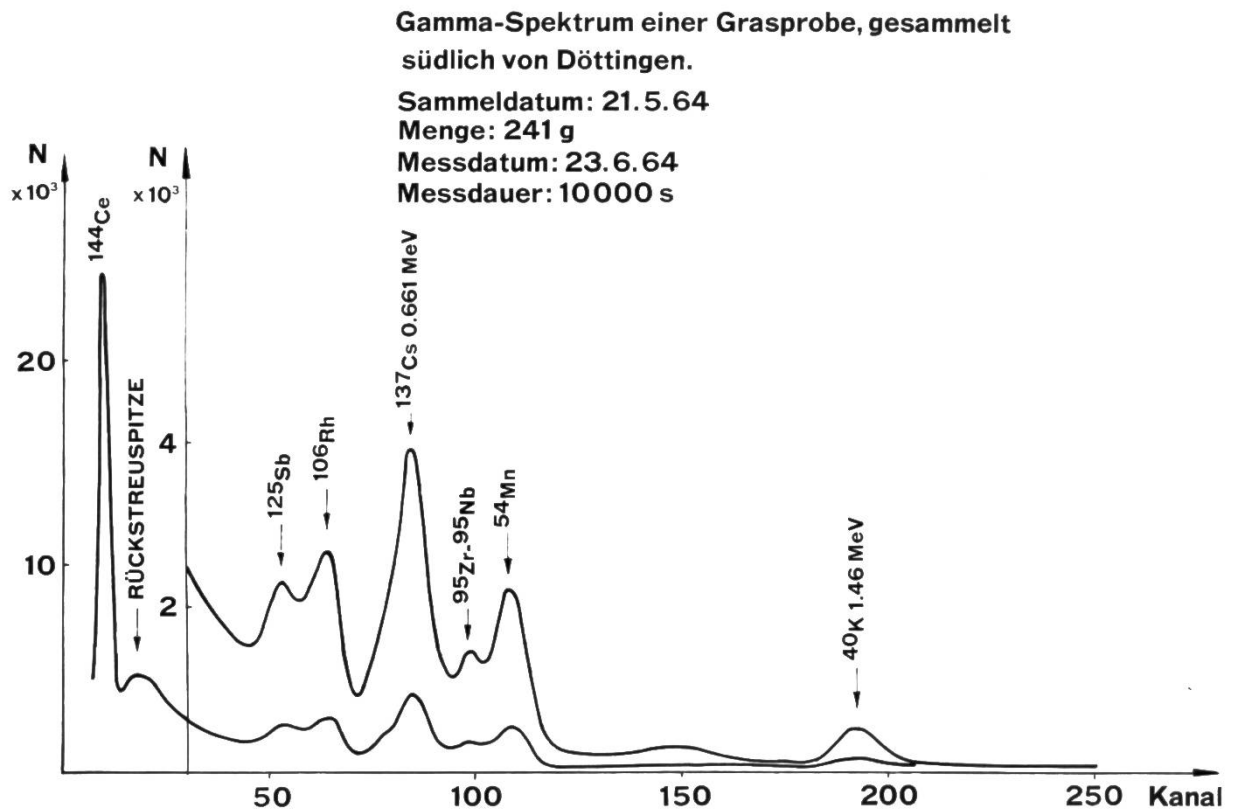


Fig. 5c

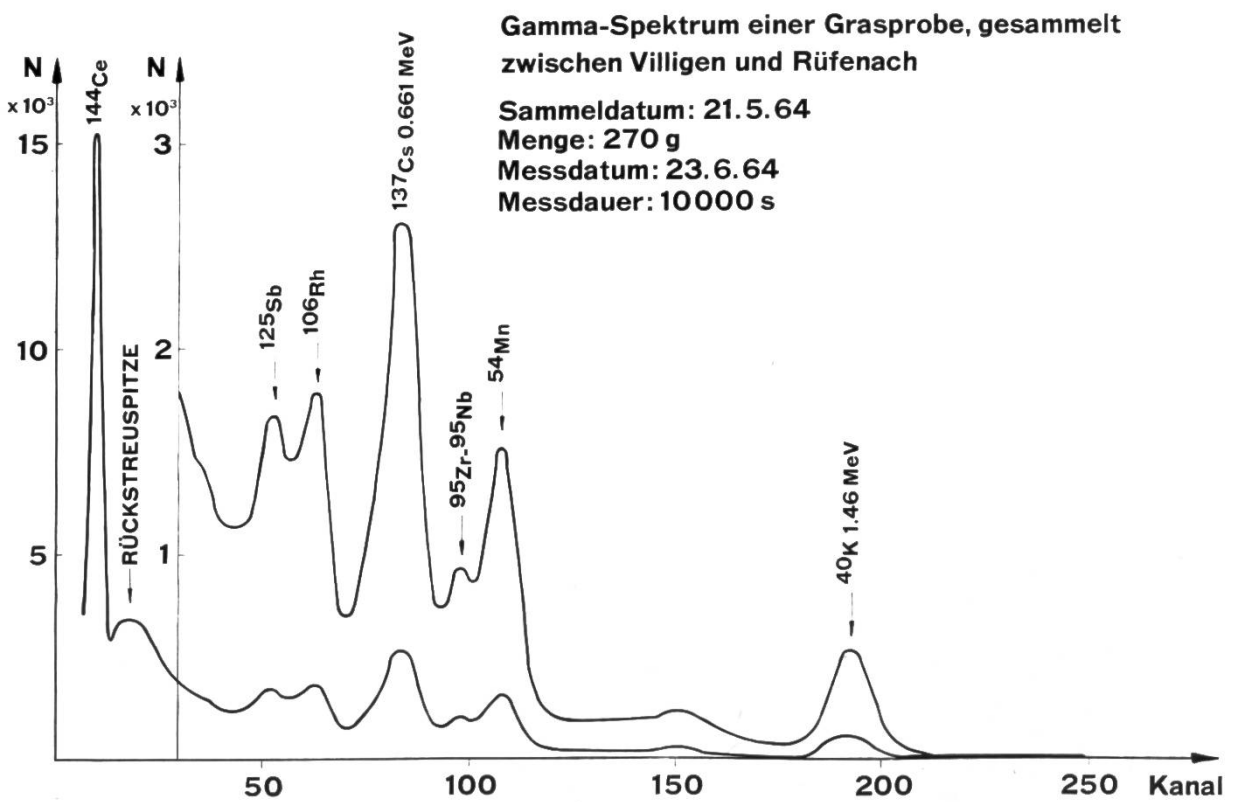


Fig. 5d

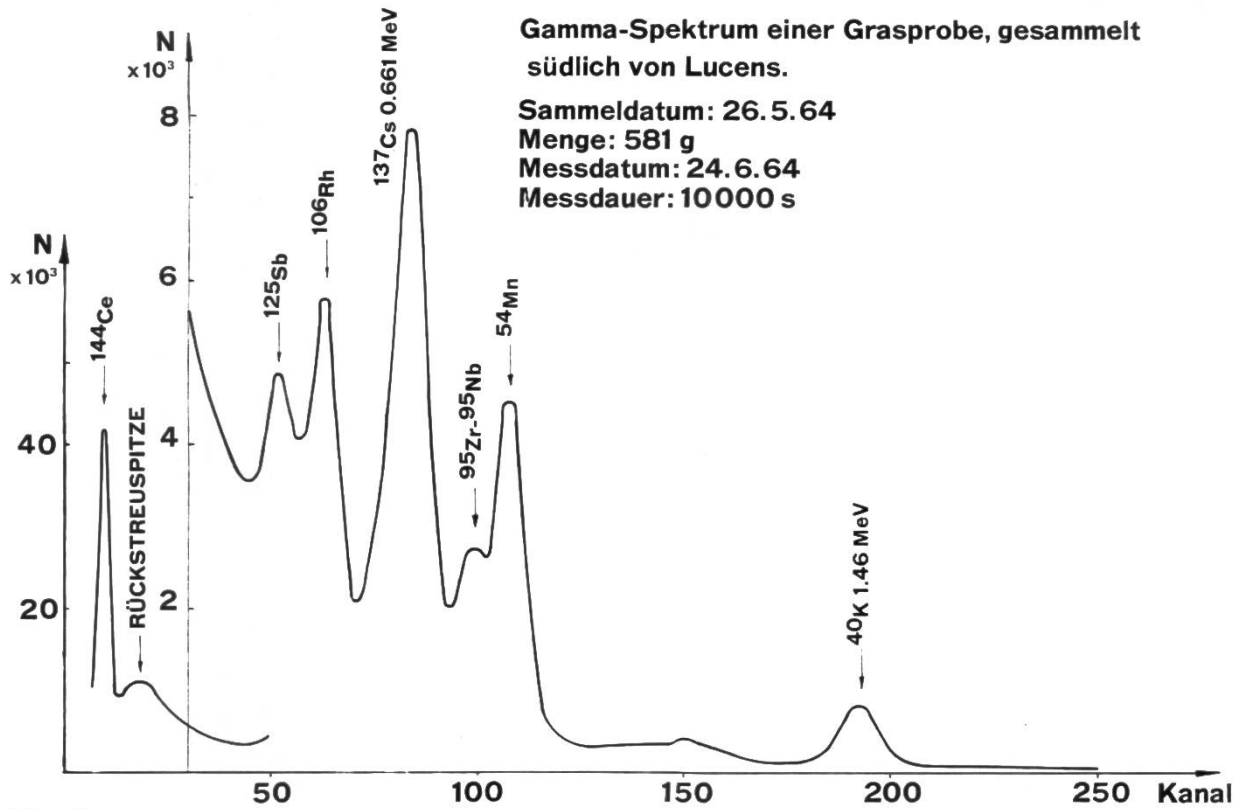


Fig. 5e

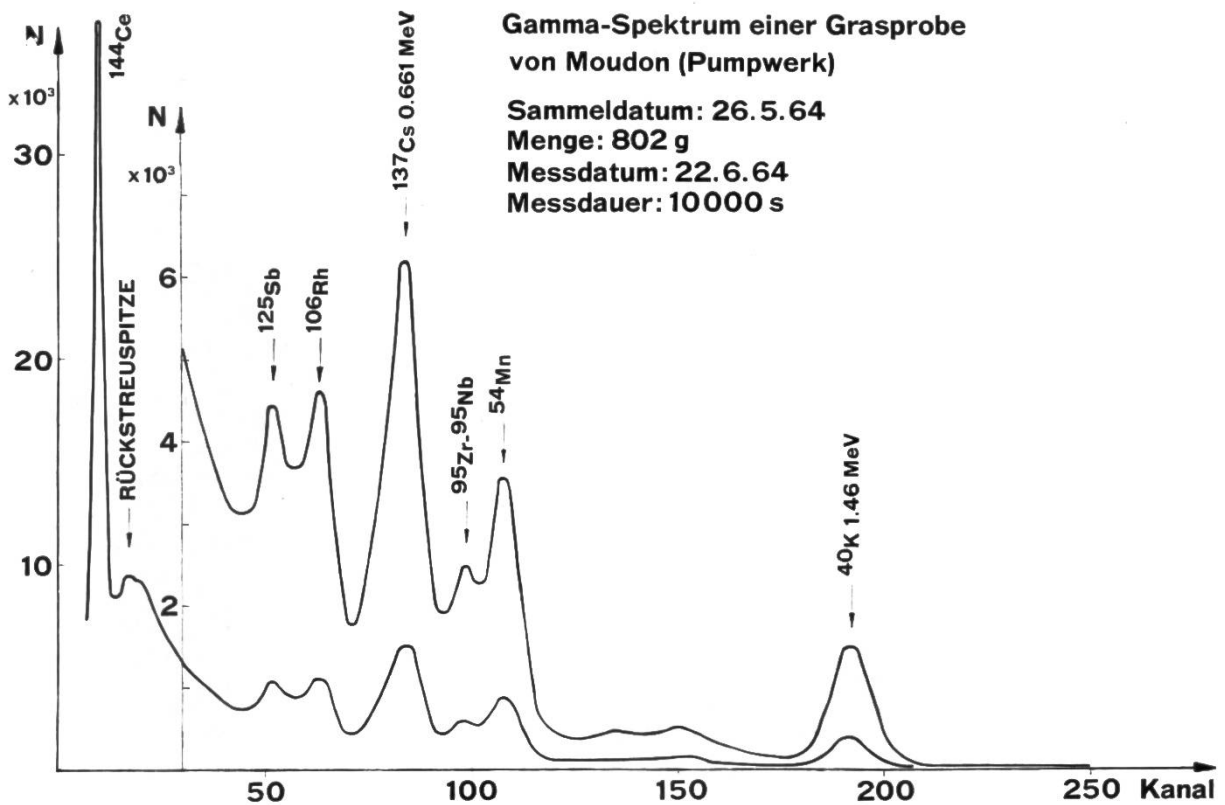


Fig. 5f

Fig. 5a-f. Gammaskpektren von Grasproben aus der Umgebung des Eidg. Institutes für Reaktorforschung und des Lucens-Reaktors.

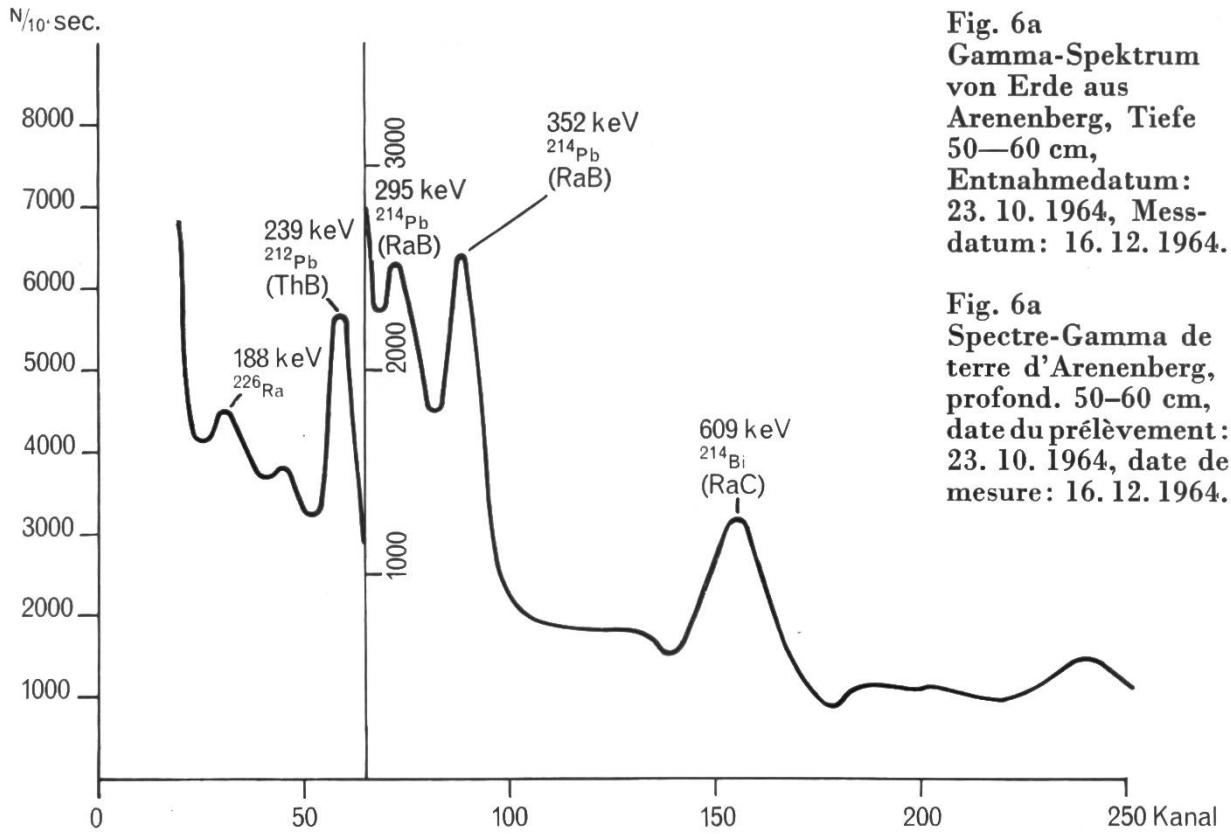


Fig. 6a
Spectre-Gamma de
terre d'Arenenberg,
profond. 50—60 cm,
date du prélèvement:
23. 10. 1964, date de
mesure: 16. 12. 1964.

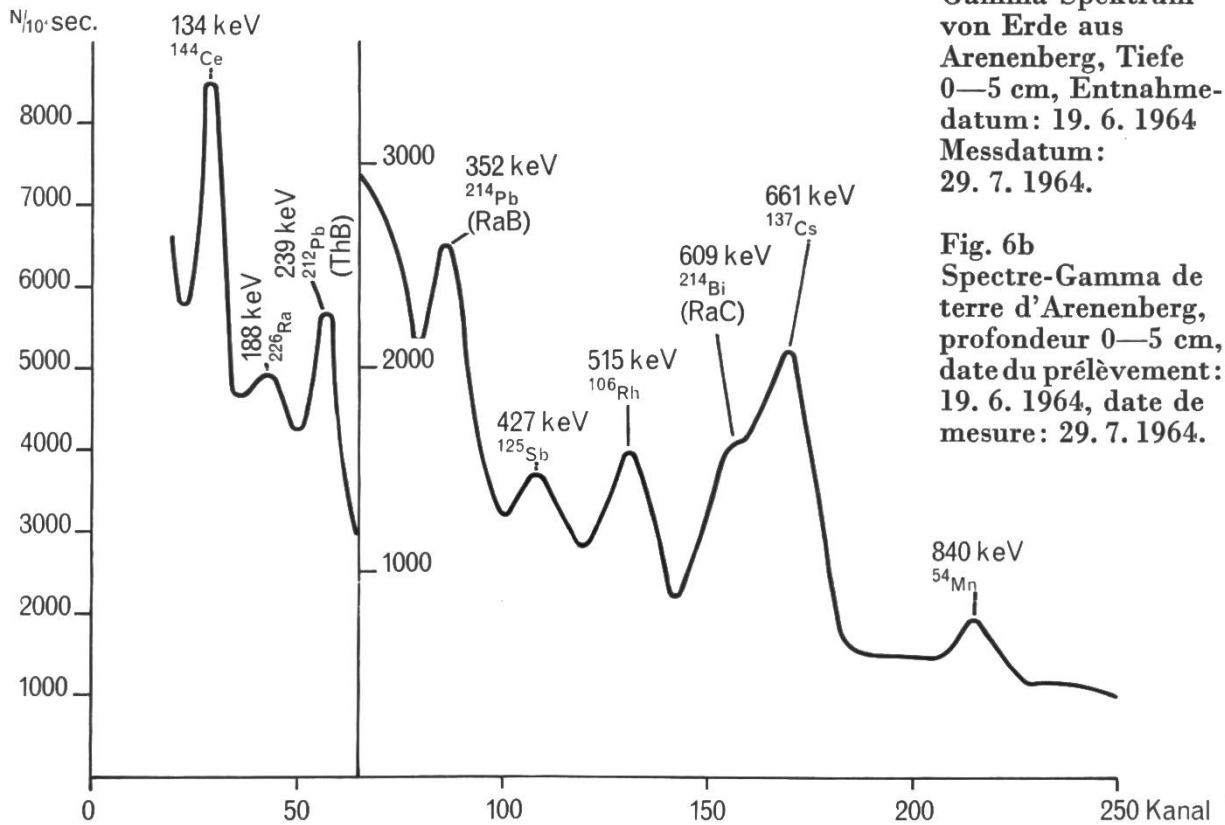
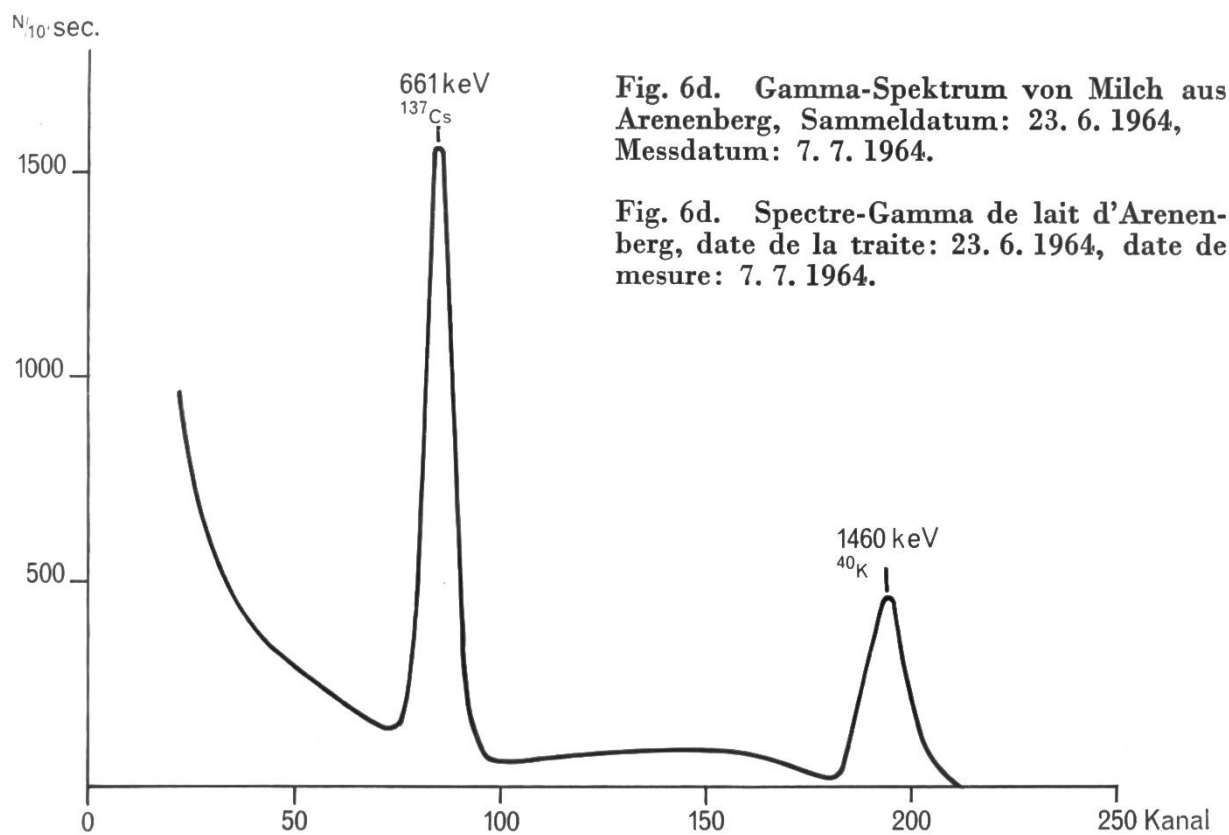
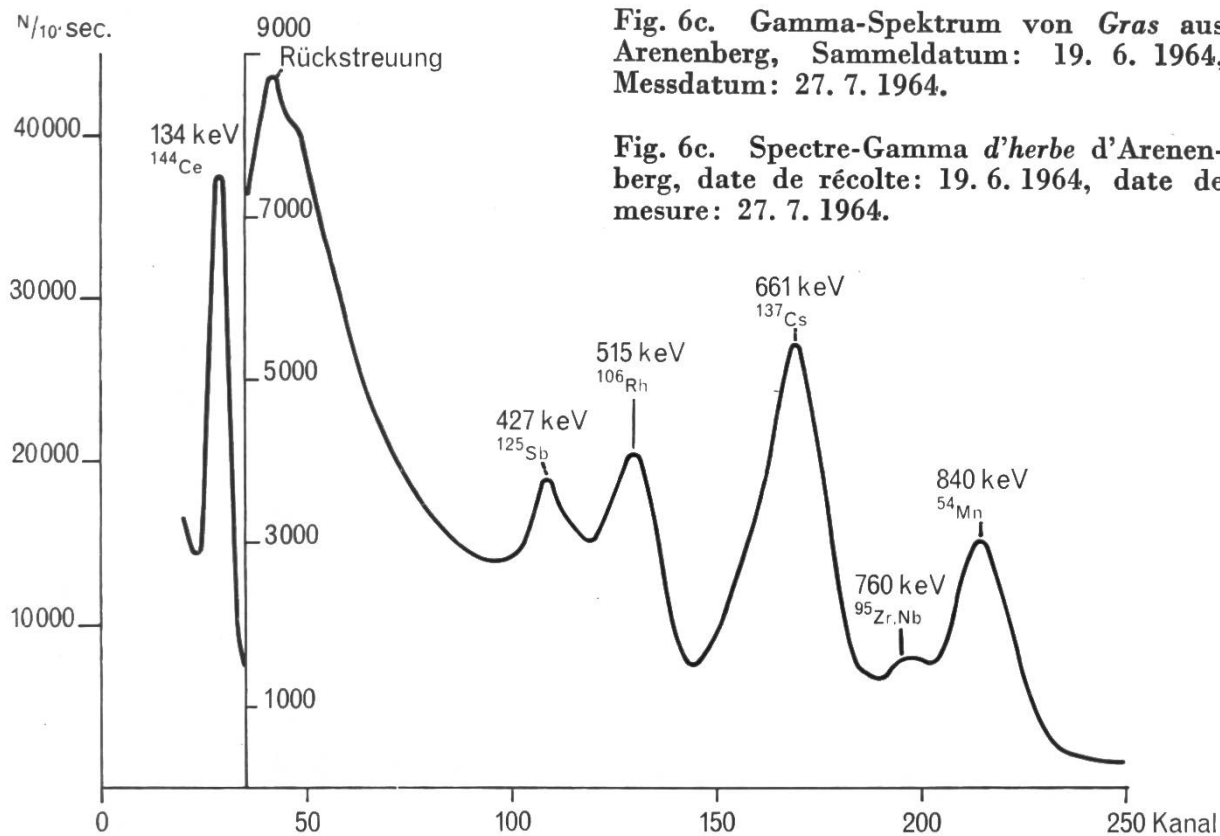


Fig. 6b
Spectre-Gamma de
terre d'Arenenberg,
profondeur 0—5 cm,
date du prélèvement:
19. 6. 1964, date de
mesure: 29. 7. 1964.



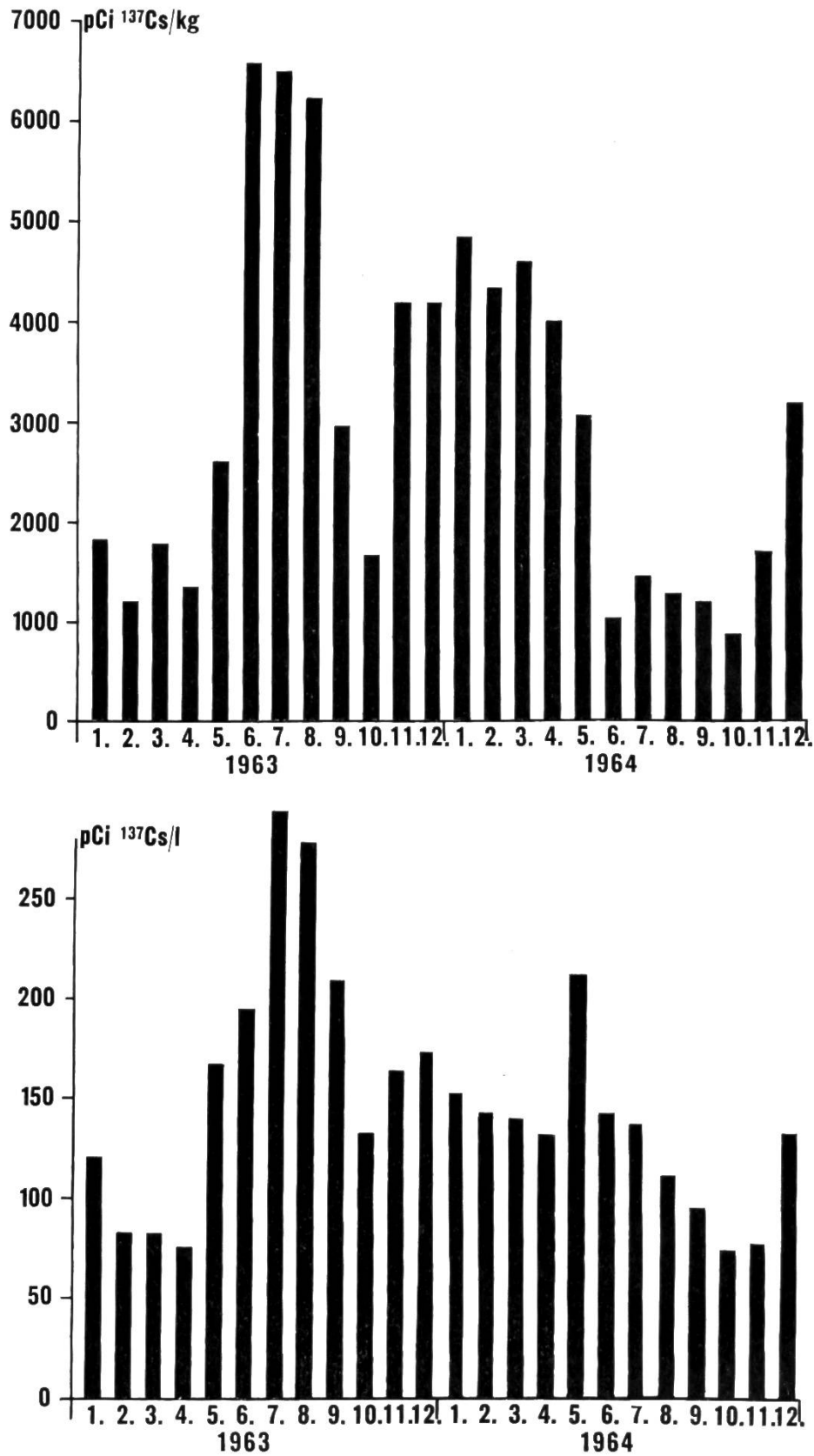


Fig. 7. Oben: Cs-137-Gehalt von Viehfutter (monatliche Probenahme), Ostschweiz 1963 und 1964. Unten: Cs-137-Gehalt von Milch (monatliche Probenahme zwei Tage nach derjenigen des Futters), Ostschweiz 1963 und 1964.

Fig. 7. En haut: Contenu Cs-137 dans le fourrage (prélèvement d'échantillon mensuel), Suisse orientale 1963 et 1964. En bas: Contenu Cs-137 dans le lait (prélèvement mensuel deux jours après celui du fourrage), Suisse orientale 1963 et 1964.

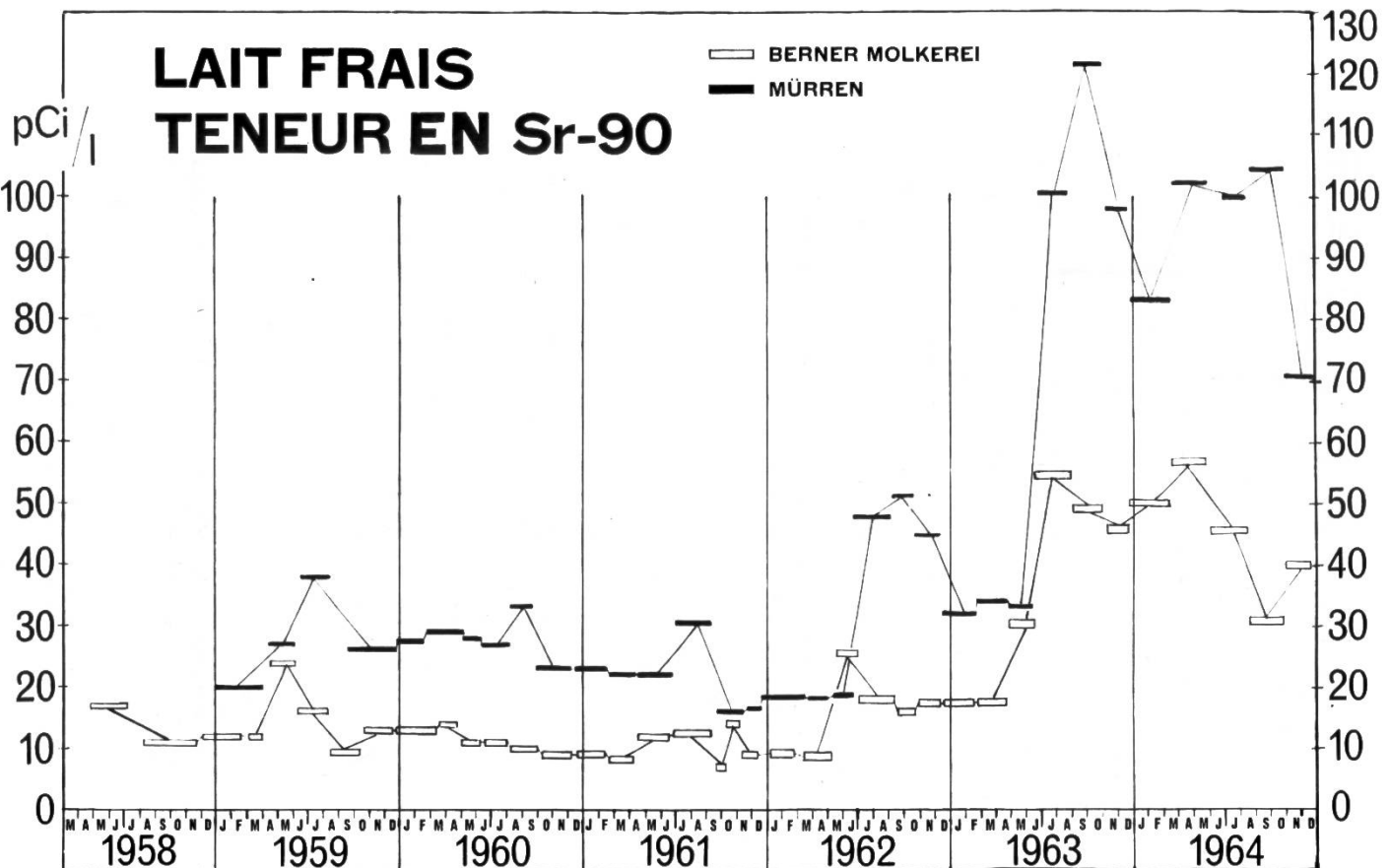


Fig. 8. Spezifische Strontium-90-Aktivität von Frischmilch aus dem Flachland (Bern 540 m) und aus einer Höhenlage (Mürren 1650 m).
 Fig. 8. Activité spécifique du strontium-90 dans le lait frais de plaine (Berne 540 m) et de montagne (Mürren 1650 m).

- Frischmilch, Flachland.
- Lait frais, plaine.
- Frischmilch, Höhenlage.
- Lait frais, montagne.

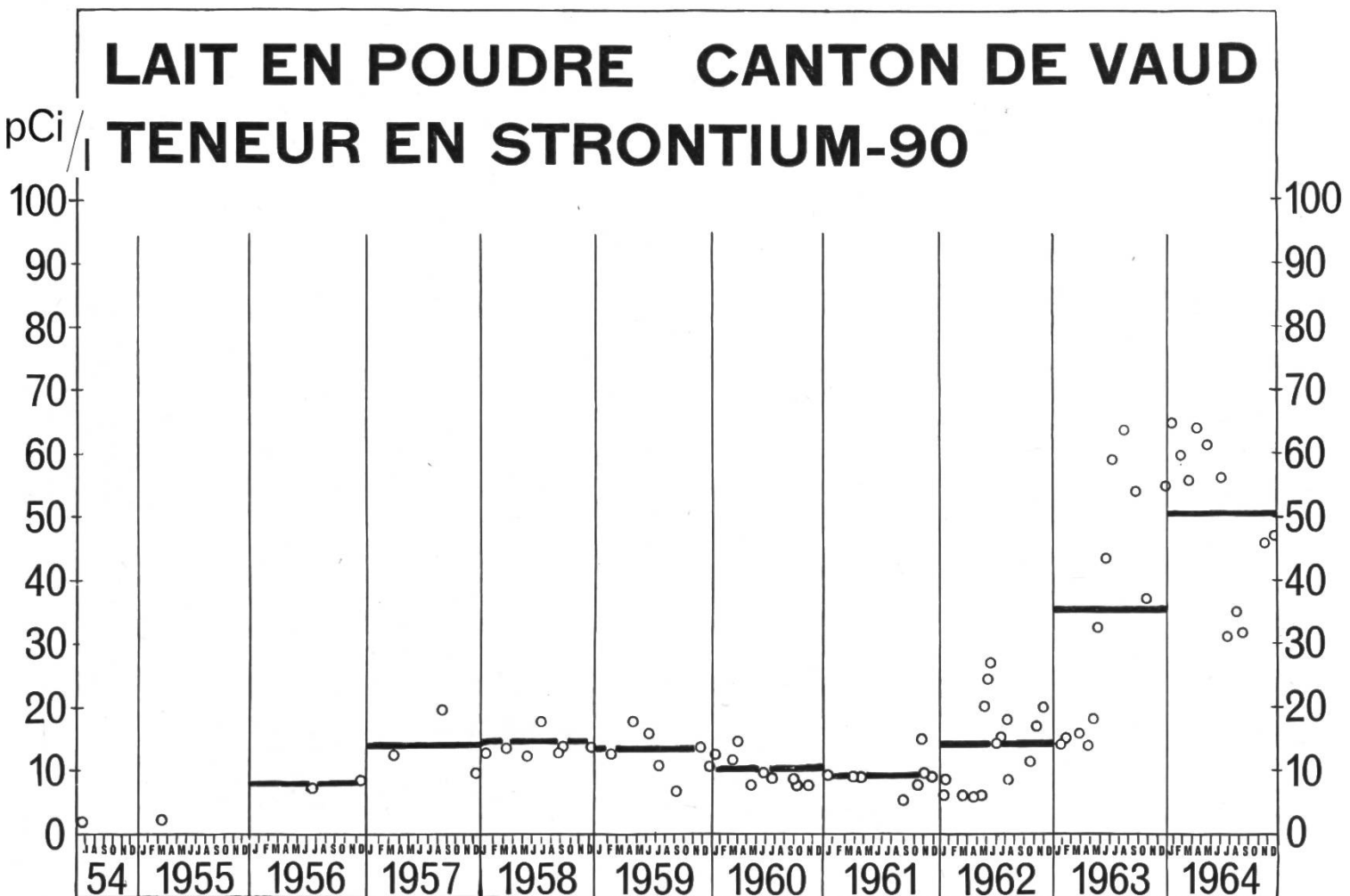


Fig. 9. Spezifische Strontium-90-Aktivität von Trockenmilch (Flachland) seit 1954 in Picocurie pro Liter Milch.

Fig. 9. Activité spécifique du strontium-90 dans le lait en poudre (plaine) depuis 1954, en picocurie par litre de lait.